

# Modelos, Escalas e Semelhança

Paulo Jabardo

17-11-2023



# Apresentação

- Análise dimensional
- Por que não o nome tradicional???
- Qual a fixação com mecânica dos fluidos?
- Porque agora?

- Modelos e escalas
- Invariância e simetria
- Sabemos bastante: geometria e equações diferenciais
- Conseguimos simplificar bastante
- Análise dimensional
  - As leis físicas não podem depender do sistema de unidades
  - Dimensões e unidades
  - Porque as unidades são sempre monômios?
  - Teorema dos  $\Pi$ s de Buckingham
  - Semelhança e simplificação
- Exemplos

# O que cai mais rápido? Uma bola de boliche ou uma pena?

Quem está respondendo?

- Estudante que acabou de fazer o vestibular
- Uma criança de 5 anos

Que tal fazer um experimento?

# Observações sobre os experimentos

- Pena - Extremamente complexo quando cai no ar
- Penas - Também é complexo quando cai no vácuo (logo no comecinho)
- O ar tem efeito pequeno na bola de boliche
- O gatilho tem uma dinâmica complicadíssima
  - Elasticidade do sistema
  - Atrito da argola
  - dinâmica do cabo que segura a bola

# Algumas escalas do sistema

- Peso da bola de boliche
- $t_{gatilho}$  - Escala de tempo para começar cair
- Geometria: diâmetro, área, volume, rugosidade, esfericidade, etc
- outros...

# Velocidade terminal da bola

$$ma = mg - F_a$$

$$F_a = C_D \times A \times \frac{1}{2} \rho U^2$$

$$ma = 0 \longrightarrow F_a = mg \longrightarrow U_{terminal} = \sqrt{\frac{2mg}{C_D A \rho}}$$

Chegamos na equação diferencial

$$m \frac{d^2 z}{dt^2} = -mg + C_D A \frac{1}{2} \rho \left( \frac{dz}{dt} \right)^2$$

# Mase e uma bexiga de hélio?

Temos que adicionar o empuxo!

$$m \frac{d^2 z}{dt^2} = -mg + \frac{\pi \rho g D^3}{6} + C_D \frac{\pi D^2}{4} \frac{1}{2} \rho \frac{dz}{dt} \left| \frac{dz}{dt} \right|$$

Será que esse modelo é completo?

- Claramente não no caso geral
- Talvez para um corpo rígido? Mais ou menos...
- Se quiser tratar o problema completo, você vai ficar louco!!!



# Qualquer (?) problema físico

$$X_1 + X_2 + \cdots + X_n = 0$$

## Modelo

- Equação (ou equações)
- Aproximações de  $X_i$
- $|X_k| \ll |X_j|$  posso desprezar  $X_k$  ou pelo menos usar um modelo simples
- Se um termo cresce, os outros precisam diminuir...

# Um outro problema simples

- Fluxo de ar constante
- Passando por um aquecedor elétrico com potência constante
- Termina o experimento
- **Desligo o aquecedor**
- Aumento a vazão de ar
- O que acontece com a temperatura do ar de saída?

# Três frases que definem bem a modelagem

L. Tolstói

*Famílias felizes são felizes da mesma maneira, famílias infelizes são miseráveis cada um de um jeito único.*

H. L. Mencken (Scopes Monkey trial)

*Todo problema complexo tem uma solução simples, elegante e errada.*

Ditados populares


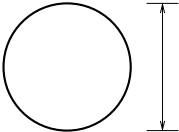
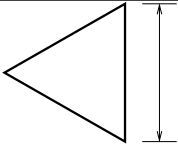
*Más vale malo conocido que bueno por conocer.*

*Más sabe el diablo por viejo que por diablo*

# Modelos físicos X modelos matemáticos

- Não farei distinções!
- Em sentido abstrato as dificuldades são as mesmas
- Em um modelo matemático, fixou as equações fixou o modelo
- Em um mdelo físico, fixou as condições de laboratório, fixou o modelo
- Fácil "fixar" a física em um modelo matemático
- Alguns problemas físicos intratáveis matematicamente são "simples" no laboratório

# Um pouco de geometria

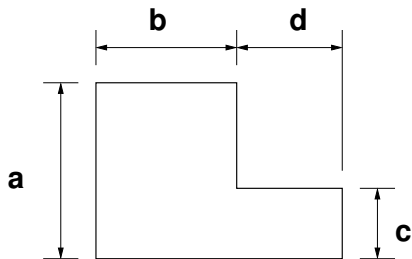
Geometria			
Área	$L^2$	$\pi D^2/4$	$\sqrt{3}/4L^2$
Perímetro	$4L$	$\pi D$	$3L$

$$A \sim L^2$$

$$P \sim L$$

$$\frac{A}{L^2} = k_1 \quad \longrightarrow \quad \frac{P}{L} = k_2$$

# Isso vale mesmo para geometrias mais “complexas”



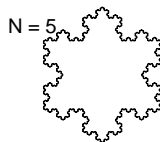
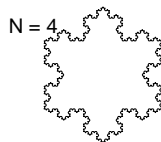
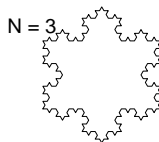
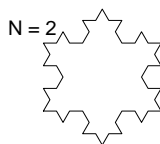
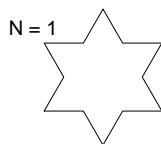
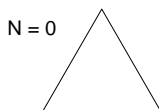
Area:  $A = a \cdot b + c \cdot d$ , perímetro:  $P = a + 2b + 2d + c$ .

$$b = \alpha_1 \cdot a, \quad d = \alpha_2 \cdot a, \quad c = \alpha_3 \cdot a$$

A área e o perímetro desta figura geométrica são dadas por:

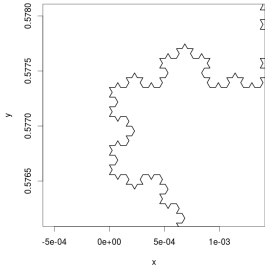
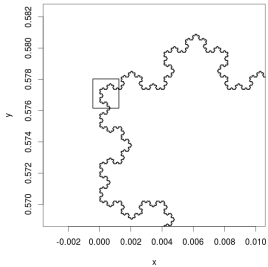
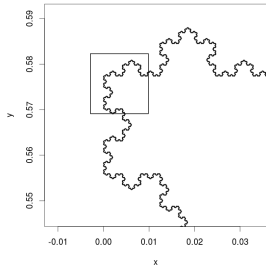
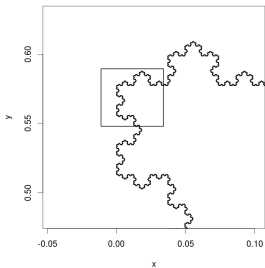
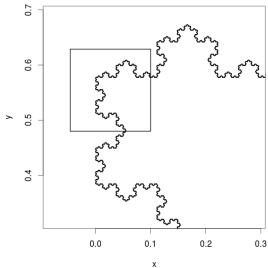
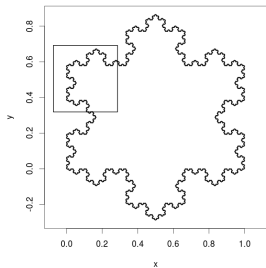
$$\frac{A}{a^2} = (\alpha_1 + \alpha_2 \cdot \alpha_3) \quad \frac{P}{a} = (1 + 2\alpha_1 + 2\alpha_2 + \alpha_3)$$

# Floco de Koch



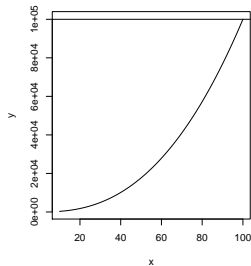
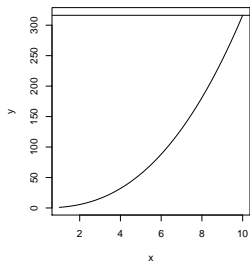
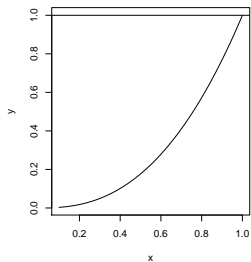
$$\frac{A}{L^2} = \frac{\sqrt{3}}{20} \cdot \left[ 8 - 3 \left( \frac{4}{9} \right)^N \right] \longrightarrow \frac{P}{L} = 3 \cdot \left( \frac{4}{3} \right)^N$$

# Floco de Koch - Autossimilaridade

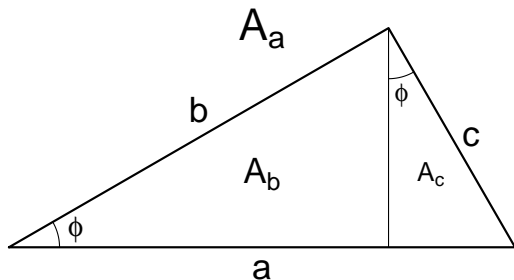




# Leis de potência - Autossemelhança



# Teorema de Pitágoras



$$A(h, \phi) = h^2 \cdot f(\phi)$$

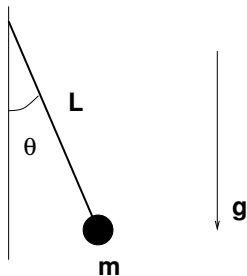
$$A_a a^2 \cdot f(\phi) = A_b + A_c = b^2 \cdot f(\phi) + c^2 \cdot f(\phi)$$

$$a^2 = b^2 + c^2$$

# Nós sabemos muito!

- Ninguém aqui vai ganhar premio Nobel!
- A física básica já é conhecida!
- Mas ainda não sabemos de todas as suas nuances
- Um problema só é “tratável” se simplificarmos
- Ciência é reducionista
- O mais importante é saber o que desprezar!

# Pendolo simples



# Redução do modelo

- Vamos desprezar radiação solar
- Vamos desprezar a variação de  $g$
- Vamos desprezar a força de Coriolis
- O fio é perfeitamente rígido e sem massa e diâmetro nulo
- Vamos desprezar o atrito
- outros e mais outros...

# Redução do modelo

Esfera de aço de 1cm,  $L=1$  m, velocidade de 1 m/s

Força	Expressão	% gravidade
Gravidade	$F_g = mg$	0.04 N
Atrito	$F_a = C_D 1/2 \rho_a U^2 A$	0.1%
Coriolis	$F_c = 2m\Omega \sin \phi$	$6 \times 10^{-4}$ %
Radiação solar	$10 \mu\text{N}/\text{m}^2 \times A$	$2 \times 10^{-6}$ %

# Modelo matemático simples

$$m \cdot L^2 \cdot \frac{d^2\theta}{dt^2} + m \cdot g \cdot L \cdot \sin \theta = 0$$

com as seguintes condições de contorno:

$$t = 0 \quad \longrightarrow \quad \theta = \theta_0, \quad \frac{d\theta}{dt} = 0$$

$$\frac{L}{g} \frac{d^2\theta}{dt^2} + \sin \theta = 0$$

# Escolher a régua certa

$$t_* = \frac{t}{t_0} \quad \longrightarrow \quad \text{onde} \quad t_0 = \sqrt{\frac{L}{g}}$$

chega-se à equação adimensional

$$\frac{d^2\theta}{dt_*^2} + \sin \theta = 0$$



# Período de oscilação

Para  $\theta_0$  pequeno,  $\sin \theta \approx \theta$

$$T = 2\pi\sqrt{\frac{L}{g}}$$

Em geral, temos:

$$T = 2\pi\sqrt{\frac{L}{g}} \cdot \varphi(\theta_0)$$

# Difusão de calor em uma barra

$$u = u(x, t)$$

$$\frac{\partial u}{\partial t} = \alpha \frac{\partial^2 u}{\partial x^2}$$

Condições de contorno e iniciais

- $u(x, 0) = 0$
- $u(0, t) = 0, u(L, t) = u_0$

Solução para  $t \rightarrow \infty$ ,

$$\lim_{t \rightarrow \infty} u(x, t) = \frac{x}{L} u_0$$

# Barra infinita: autosemelhança

$$L \rightarrow \infty$$

Qual a escala de comprimento??? Tem que sair do próprio problema!

$$\frac{t\alpha}{L_0^2} = cte \longrightarrow L_0 = \sqrt{t\alpha} \longrightarrow \eta = \frac{x}{L_0} \longrightarrow \frac{u}{u_0} = f(\eta)$$

Mas  $\eta$  é uma escala que varia com o tempo!

# Solução da barra infinita

Substituindo  $u/u_0 = f(\eta)$ :

$$f''(\eta) + \frac{\eta}{2}f'(\eta) = 0$$

com  $f(0) = 0$

$$\lim_{\eta \rightarrow \infty} f(\eta) = 1$$

Assim, chegamos à solução do problema:

$$f(\eta) = \operatorname{erf}\left(\frac{\eta}{2}\right)$$

# Escoamento ao redor de uma esfera

$$\frac{\partial \mathbf{u}}{\partial t} + \mathbf{u} \cdot \nabla \mathbf{u} = -\frac{1}{\rho} \nabla p + \nu \nabla^2 \mathbf{u} \quad \nabla \cdot \mathbf{u} = 0$$

$$r \rightarrow \infty \quad \mathbf{u} \rightarrow U_0 \hat{\mathbf{i}} \quad r = \frac{D}{2} \quad \mathbf{u} = \mathbf{0}$$

Hipóteses:

- Mecânica do contínuo
- Fluido incompressível
- Propriedades constantes

# Vamos usar uma régua adequada

$$x_* = \frac{x}{D}, \quad y_* = \frac{y}{D}, \quad z_* = \frac{z}{D}$$
$$\mathbf{u}_* = \frac{\mathbf{u}}{U_0}, \quad \rho_* = \frac{\rho}{\rho_0}, \quad t_* = \frac{t}{t_0} = \frac{tU_0}{D}$$

Chegamos à seguinte equação diferencial:

$$\frac{\partial \mathbf{u}_*}{\partial t_*} + \mathbf{u}_* \cdot \nabla_* \mathbf{u}_* = -\frac{P_0}{\rho U_0^2} \nabla_* p_* + \frac{1}{Re} \nabla_*^2 \mathbf{u}_* \quad \nabla_* \cdot \mathbf{u}_* = 0$$

e as condições de contorno são:

$$r_* \longrightarrow \infty \quad \mathbf{u}_* \longrightarrow \hat{\mathbf{i}} \quad r_* = \frac{1}{2}, \mathbf{u}_* = \mathbf{0}$$

# O que ganhamos com isso?

Originalmente,

$$u = f(t, x, y, z, U_0, D, \mu, \rho), \quad F_A = F_A(t, U_0, D, \mu, U_0)$$

Agora temos

$$u = U_0 \varphi \left( \frac{tU_0}{D}, \frac{x}{D}, \frac{y}{D}, \frac{z}{D}, \frac{\rho U_0 D}{\mu} \right), \quad C_D = \frac{F_A}{\rho U_0^2 D^2} = C_D \left( \frac{\rho U_0 D}{\mu} \right)$$

# Equações de Euler - $Re \rightarrow \infty$

Se  $Re$  é muito grande e admitimos regime permanente,

$$\mathbf{u}_* \cdot \nabla_* \mathbf{u}_* = -\frac{P_0}{\rho U_0^2} \nabla_* p_*$$

Agora, conseguimos chegar a uma escala de pressão:

$$P_0 = \rho U_0^2$$



## E se a velocidade ao longe varia?

$$U_\infty = U_0 \cdot (1 + \epsilon_0 \cdot \cos \omega_0 t)$$

Com isso chegamos a

$$\Omega \frac{\partial \mathbf{u}_*}{\partial t_*} + \mathbf{u}_* \cdot \nabla_* \mathbf{u}_* = -\frac{P_0}{\rho U_0^2} \nabla_* p_* + \frac{1}{Re} \nabla_*^2 \mathbf{u}_* \quad \Omega = \frac{D\omega_0}{U_0}$$

Originalmente tínhamos a escala de tempo  $t_0 = D/U_0$  agora temos uma nova escala  $t_1 = 1/\omega_0$ .

Um novo adimensional:

$$\Omega = \frac{t_1}{t_0} = \frac{D\omega_0}{U_0}$$

E se a variação for mais complicada? (turbulência por exemplo)

# Complicando o problema: vibração da esfera

Uma nova equação:

$$y''(t) + 2\zeta\omega_N y'(t) + \omega_N^2 y(t) = \frac{F_{fluido}(t)}{m}$$

Vamos usar a escalas de comprimento  $D$  e tempo  $t_0 = D/U_0$ :

$$\frac{d^2 y_*}{dt_*^2} + 2\frac{\zeta}{V_R} \frac{dy_*}{dt_*} + \frac{1}{V_R^2} y_* = \frac{\rho D^3}{m} \cdot \varphi(t_*)$$

$$F_{fluido}(t) = \rho U_0^2 \times D^2 \varphi(t_*)$$

Novos adimensionais

$$\frac{\rho D^3}{m} \quad V_R = \frac{t_2}{t_0} = \frac{U_0}{\omega_N \cdot D} \quad \frac{1}{t_2} = \omega_N = \sqrt{\frac{k}{m}}$$

# E usando a escala de tempo do oscilador no escoamento?

Invertemos o problema!

$$\frac{1}{V_R} \frac{\partial \mathbf{u}_*}{\partial t_*} + \mathbf{u}_* \cdot \nabla_* \mathbf{u}_* = -\frac{P_0}{\rho U_0^2} \nabla_* p_* + \frac{1}{Re} \nabla_*^2 \mathbf{u}_*$$

$$\frac{d^2 y_*}{dt_*^2} + 2\zeta \frac{dy_*}{dt_*} + y_* = \frac{\rho D^3}{m} \cdot V_R^2 \cdot \varphi_1(t_*)$$

O problema é o mesmo!

Parâmetros adimensionais:

- Aparecem na adimensionalização das equações
- Fixando estes adimensionais, temos famílias de soluções
- Semelhança: soluções com parâmetros diferentes de mas da mesma família

# Processo simplificado

- Adimensionalizar dá trabalho
- As equações diferenciais são leis físicas simples
- Podemos aplicar estas leis simples diretamente a estimativas

# Exemplo: esfera na base elástica

Forças agindo na esfera:

- Força elástica:  $\mathcal{O}(k \cdot D)$
- Inércia da esfera:  $\mathcal{O}(ma) \sim \mathcal{O}(m \cdot D/t_0^2) = \mathcal{O}(mU_0^2/D)$
- Força do fluido - viscosa:  $\mu \partial U / \partial y A \sim \mu U_0 D$
- Força do fluido - forças de pressão:  $\mathcal{O}(\rho U^2 D^2)$

Balanco das forças

$$\sum F_i = ma \longrightarrow \mathcal{O}(mU_0^2/D) = \mathcal{O}(kD) + \mathcal{O}(\mu U_0 D) + \mathcal{O}(\rho U^2 D^2)$$

A idéia é compara os diferentes termos. Então dividimos cada termo por um dos termos.

# Dividindo a equação por um dos termos

■  $\rho U_0^2 D^2$

$$\mathcal{O}\left(\frac{m}{\rho D^3}\right) = \mathcal{O}\left(\frac{k}{\rho U_0^2 D}\right) + \mathcal{O}\left(\frac{\mu}{\rho U_0 D}\right) + \mathcal{O}(1)$$

■  $m U_0^2 / D$

$$\mathcal{O}(1) = \mathcal{O}\left(\frac{\omega_N^2 D^2}{U_0^2}\right) + \mathcal{O}\left(\frac{\rho D^3}{m}\right) + \mathcal{O}\left(\frac{\mu D^2}{m U_0}\right)$$

## Semelhança (2)

- Diferentes adimensionais:  $\Pi = \Pi(\Pi_1, \Pi_2, \dots, \Pi_N)$
- Modelo e protótipo
- $(\Pi_k)_m = (\Pi_k)_p$



# Desafio: Camada limite laminar e solução de Blasius

